

## PAPER DETAILS

TITLE: Koroner Arter Hastaliginin Siddetini Tahmin Etmek İçin P Dalga Dispersyonunun Kullanilabilirligi

AUTHORS: Hande KANGÜL,Mehmet EYÜBOGLU,Ömer KOZAN

PAGES: 111-115

ORIGINAL PDF URL: <https://dergipark.org.tr/tr/download/article-file/595924>

# Koroner Arter Hastalığının Siddetini Tahmin Etmek İçin P Dalga Dispersiyonunun Kullanılabilirliği



**Hande Kangül<sup>1</sup>, Mehmet Eyüboğlu<sup>2</sup>, Ömer Kozan<sup>1</sup>**

<sup>1</sup> Dokuz Eylül Üniversitesi Tıp Fakültesi, Kardiyoloji Anabilim Dalı, İzmir, Türkiye

<sup>2</sup> Özel İzmir Avrupa Tıp Merkezi, Kardiyoloji Kliniği, İzmir, Türkiye

## ÖZET

**Giriş:** Koroner anjiyografi uygulanan hastaların sadece küçük bir kısmında tıkalıcı koroner arter hastalığı (KAH) saptandığı düşünüldüğünde, KAH ciddiyetini öngörebilecek yeni belirteçlerin saptanması önem taşımaktadır. Çalışmamızın amacı, stabil KAH ile başvuran ve miyokart perfüzyon sintigrafisinde iskemi saptanması nedeniyle koroner anjiyografi uygulanan hastalarda tıkalıcı KAH varlığı ve KAH yaygınlığını öngörmede P dalga dispersiyonun önemini test etmektir.

**Hastalar ve Yöntem:** Miyokart perfüzyon sintigrafisinde iskemi saptanması nedeniyle koroner anjiyografi uygulanan 126 hasta çalışmaya dahil edildi. Anjiyografi sonucuna göre hastalar tıkalıcı KAH saptanmayan (grup 1), tek damarda tıkalıcı KAH saptanan (grup 2) ve birden fazla damarda tıkalıcı KAH saptanan hastalar (grup 3) olmak üzere üç gruba ayrıldı. Gruplar P dalga süreleri ve P dalga dispersiyonu açısından birbirleriyle karşılaştırıldı. KAH yaygınlığını değerlendirmek için Gensini skoru kullanıldı.

**Bulgular:** İstirahat P dalga süreleri açısından gruplar birbiriley karşılaştırıldığında, üç grup arasında istatistiksel olarak anlamlı fark saptanmadıken, P dalga recovery süreleri açısından gruplar birbiriley karşılaştırıldığında ise, üç grup arasında istatistiksel olarak anlamlı fark saptandı (sırasıyla  $117.10 \pm 13.69$  msn,  $127.64 \pm 12.70$  msn,  $130.51 \pm 11.84$  msn,  $p < 0.001$ ). P dalga dispersiyonu açısından gruplar birbiriley karşılaştırıldığında, her üç grup arasında da istatistiksel olarak anlamlı fark saptandı (sırasıyla  $13.63 \pm 6.38$  msn,  $22.48 \pm 3.98$  msn,  $27.14 \pm 6.22$  msn,  $p < 0.001$ ). P dalga süre değişikliği ve Gensini skoru arasında pozitif yönde korelasyon izlendi. P dalga süre değişikliği arttıkça Gensini skorunun da arttığı tespit edildi ( $r = 0.390$ ,  $p < 0.001$ ).

**Sonuç:** Çalışmamızın sonuçları miyokart perfüzyon sintigrafisi sonucuna P dalga dispersiyonun eklenmesinin tıkalıcı KAH ve KAH yaygınlığını belirlemekte testin duyarlığını ve özgüllüğünü anlamlı olarak artırdığını göstermektedir.

**Anahtar Kelimeler:** P dalga dispersiyonu; miyokart perfüzyon sintigrafisi; koroner arter hastalığı

## Usefulness of P Wave Dispersion in Predicting Coronary Artery Disease Severity

### ABSTRACT

**Introduction:** Because only a small proportion of patients undergoing coronary angiography have obstructive coronary artery disease (CAD), further markers are necessary to predict CAD severity. The aim of our study was to investigate the importance of P wave dispersion for predicting obstructive CAD and its severity in patients undergoing coronary angiography for positive myocardial perfusion scintigraphy.

**Patients and Methods:** Overall, 126 patients who underwent coronary angiography for positive myocardial perfusion scintigraphy were included in the study. The patients were divided into three groups based on coronary angiography findings: group 1, patients with non-obstructive CAD; group 2, patients with obstructive CAD in only one vessel; and group 3, patients with obstructive CAD in more than one vessel. The groups were compared for P wave duration and P wave dispersion. Gensini score was used to evaluate CAD severity.

**Results:** There was no significant difference among the groups regarding P wave duration at rest. However, there was a significant difference among the groups regarding P wave duration at recovery ( $117.10 \pm 13.69$  msn,  $127.64 \pm 12.70$  msn,  $130.51 \pm 11.84$  msn, respectively,  $p < 0.001$ ). When the groups were compared for P wave dispersion, we found a statistical significant difference among the groups ( $13.63 \pm 6.38$  msn,  $22.48 \pm 3.98$  msn,  $27.14 \pm 6.22$  msn, respectively,  $p < 0.001$ ). There was a positive correlation between P wave dispersion and Gensini score ( $r = 0.390$ ,  $p < 0.001$ ).

**Conclusion:** Our findings suggested that P wave dispersion increases the sensitivity and specificity of positive myocardial perfusion scintigraphy for predicting obstructive CAD and its severity.

**Key Words:** P wave dispersion; myocardial perfusion scintigraphy; coronary artery disease

### Yazışma Adresi

**Mehmet Eyüboğlu**

E-posta: mhmtbygl@gmail.com

Geliş Tarihi: 07.05.2016

Kabul Tarihi: 23.07.2016

©Telif Hakkı 2017 Koşuyolu Heart Journal.  
Metnine www.kosuyoluheartjournal.com  
web adresinden ulaşılabilir.

## GİRİŞ

Miyokart iskemisinin en sık görülen nedeni olan stabil koroner arter hastalığı (KAH) aterosklerotik kalp damar hastalıkları içinde önemli bir mortalite ve morbidite sebebi olup koroner arter trombozunun ön planda olduğu akut koroner sendromlar hariç çok geniş bir hasta grubunu kapsamaktadır<sup>(1)</sup>. Tanı ve değerlendirme klinik değerlendirme, invaziv olmayan stres testler ve koroner anjiyografisi içermektedir. Yaygın olarak kullanılan invaziv olmayan stres testler efor testi ve miyokart perfüzyon sintigrafisi olup hastalık tanısı ve yaygınlığını değerlendirmede altın standart koroner anjiyografidir<sup>(1)</sup>. Elektif koroner anjiyografi uygulanan hastaların ancak üçte biri kada-rında tıkayıcı KAH saptandığı düşünüldüğünde, yaygın olarak kullanılan invaziv olmayan testlere ilave olarak KAH ciddiyetini öngörebilecek yeni belirteçlerin saptanması klinik olarak büyük önem taşımaktadır<sup>(2)</sup>.

Yüzey elektrokardiyografi (EKG)'de uzamış P dalga süresi ve P dalgasının maksimum ve minimum süresi arasındaki fark alınarak hesaplanan P dalga dispersiyonu aritmiler için önemli bir risk faktörü olarak kabul edilmektedir<sup>(3)</sup>. P dalga dispersiyonu KAH'da da incelenmiş olup P dalga dispersiyonunun koroner anjiyografide tıkayıcı KAH saptanan hastalarda normal koroner anjiyografiye sahip hastalara göre anamlı olarak artmış olduğu gösterilmiştir<sup>(4)</sup>. Ancak, P dalga dispersiyonunun miyokart perfüzyon sintigrafisinde iskemi kanıtı olan hastalarda anjiyografik olarak belgelenmiş KAH ve KAH yaygınlığını öngörmedeki yeri net değildir. Bu çalışmanın amacı stabil KAH ile başvuran ve tanı amaçlı yapılan miyokart perfüzyon sintigrafisinde iskemi saptanması nedeniyle koroner anjiyografi uygulanan hastalarda revaskülarizasyon gereksinimi olan ciddi koroner arter hastalığını saptamada P dalga dispersiyonunun kullanılabilirliğini test etmektedir.

## HASTALAR ve YÖNTEM

KAH şüphesi nedeniyle miyokart perfüzyon sintigrafisi uygulanan ve yapılan sintigrafide iskemi saptanması nedeniyle koroner anjiyografi uygulanan ardışık 146 hasta çalışma için tarama. Egzersiz yapamadığı için farmakolojik stres ile miyokart sintigrafisi uygulanan hastalar (n= 10), atriyal fibrilasyonu olan hastalar (n= 4), sol dal bloğu olan hastalar (n= 2), antiiskemik tedavisine sintigrafiden 48 saat önce ara verilmeyen hastalar (n= 2) ve yüzey EKG'sinde belirgin iskemi bulgusu olan hastalar (n= 2) çalışmaya dahil edilmedi. Geriye kalan 126 hasta çalışmaya dahil edildi. Hastaların demografik ve klinik özellikleri hasta kabulünde kayıt altına alındı. Çalışma için lokal etik kuruldan gerekli izin alındı.

### Koroner Anjiyografi

Çalışmaya dahil edilen bütün hastalara koroner anjiyografi uygulandı. Koroner anjiyografi standart Judkins teknigi kullanılarak femoral veya radial arter yoluyla uygulandı. Sol sistem için en az dört sağ koroner arter için en az iki ortogonal düzlemden çekim yapıldı. Koroner anjiyogramlar çalışma verilerine kör iki deneyimli girişimsel kardiyolog tarafından değerlendirildi. Sol ana koroner arter (LMCA) için ≥ %50, diğer epikardiyal damarlar için ≥ %70 darlık saptanması tıkayı-

cı-ciddi KAH olarak kabul edildi. Hastalar koroner anjiyografi sonuçlarına göre 3 gruba ayrıldı; tıkayıcı KAH saptanmayan veya koroner anjiyografisi normal olan hastalar (grup 1), tek damarda tıkayıcı KAH saptanan hastalar (grup 2) ve birden fazla majör epikardiyal damarda tıkayıcı KAH saptanan hastalar (grup 3).

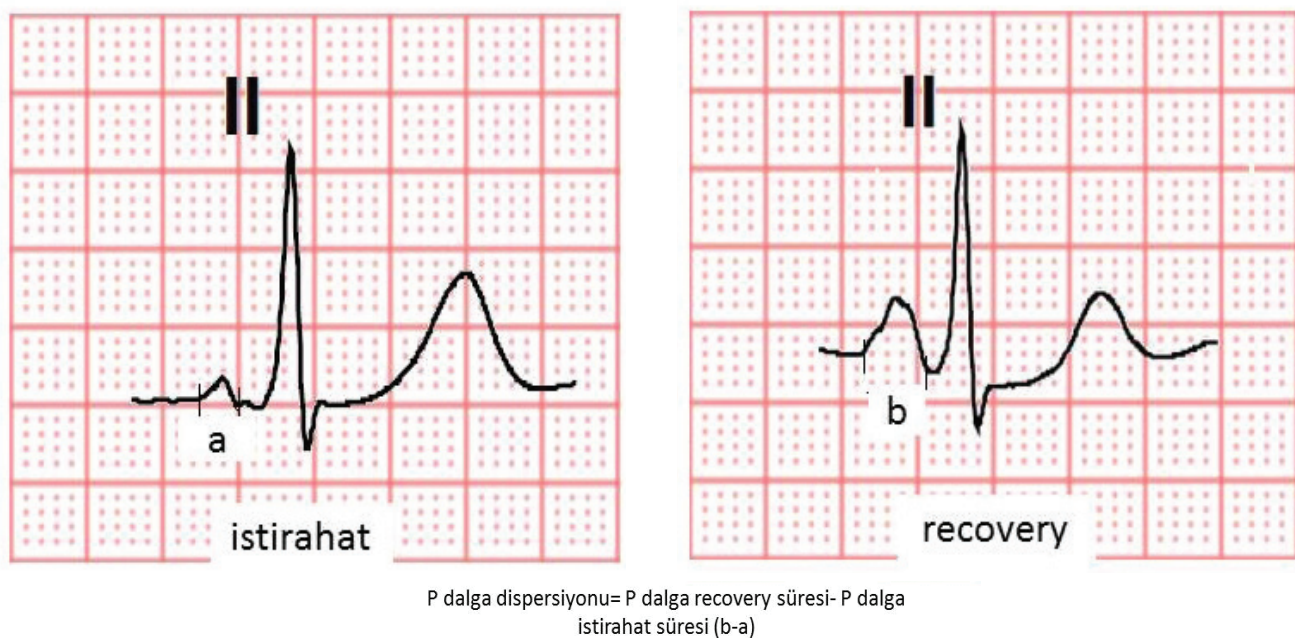
Bütün hastalar için koroner arterlerdeki aterosklerozun yaygınlığının ve şiddetinin derecelendirilmesinde Gensini skorlaması kullanıldı<sup>(5)</sup>. Anjiyografik stenoz derecesine göre; %1-25 arası darlık için 1 puan, %26-50 arası darlık için 2 puan, %51-75 arası darlık için 4 puan, %76-90 arası darlık için 8 puan, %91-99 arası darlık için 16 puan %100 total lezyon için 32 puan verildi. Daha sonra hesaplanan skorlar koroner arterlerin her bir segmenti için tanımlanmış olan katsayı ile çarpılarak ve sonuçlar toplanarak Gensini skoru hesaplandı. Segment ve katsayıları ise, LMCA için 5, sol önen koroner arter (LAD) proksimal için 2.5, mid 1.5, apikal 1, diagonal 1 için 1 ve diagonal 2 için 0.5; sirkumfleks arter (CX) proksimali için 2.5, distali için 1, obtus margin (OM) için 1 ve eğer sol dominant ise arka önen arter (PDA) için 1, posterolateral arter (PL) için 0.5 segmentlerine; sağ koroner arter (RCA) proksimali için 1, mid 1, distal 1 ve PDA için 1 ile çarpıldı. Gensini skoru 1-20 arasında ise hafif koroner ateroskleroz, skor > 20 ise şiddetli koroner ateroskleroz olarak kabul edildi.

### P Dalga Süresi ve Dispersiyonu

P dalga süresinin saptanması için standart EKG kayıtları (25 mm/saniye, 10 mm/mV) 4 kez büyütülerek (100 mm/saniye, 40 mm/mV) yeniden değerlendirildi. Her hasta için ayrı ayrı eş zamanlı lead II ve lead V5'teki seçilen P dalgaları en küçük sinyallere kadar analiz edildi ve sonuçlar karşılaştırıldı. P dalga süresi istirahat ve egzersiz testinin recovery fazının birinci dakikasında 4 kat büyütülmüş kayıtlarda ölçüldü. P dalgası ile devamlılık gösteren T ve/veya U-dalgasının önen kolundaki bükülmeye noktası P dalgasının başlangıcı olarak kabul edildi. P dalgasının bitimi P dalgası sonundaki bükülmeye noktası olarak kabul edildi<sup>(6)</sup>. P dalga süresi derivasyon II ve V5'ten elde edilen değerlerin ortalaması alınarak hesaplandı. P dalga dispersiyonu, P dalga süresi (recovery)-P dalga süresi (istirahat) şeklinde hesaplandı (Şekil 1). Oluşturulan üç grup (non-kritik, tek damar, çok damar hastalığı olanlar) kendi aralarında P dalga sürelerindeki değişiklik ve Gensini skoru açısından karşılaştırıldı.

### İstatistiksel Analiz

Bütün veriler SPSS version 15.0 (SPSS, Inc., Chicago, Illinois) kullanılarak analiz edildi. Devamlı değişkenler ortalaması ± standart sapma olarak ifade edildi. Kategorik değişkenler yüzde ve sayı olarak ifade edildi. Kategorik değişkenler için Ki-Kare testi, devamlı değişkenler için ANOVA testi kullanıldı. Post-hoc ile varyans analizi yapıldı (Bonferroni düzeltmeli). Numerik veriler arasındaki ilişki açısından Pearson ve Kendall's korelasyon analizi yapıldı. P dalga süre değişikliği için cut-off belirlerken Roc eğrisi kullanıldı. P değerleri için < 0.05'in altında olması istatistiksel olarak anlamlı kabul edildi.



**Şekil 1.** P dalga dispersiyonu ölçümü.

## BULGULAR

Çalışmaya 126 hasta dahil edildi ve çoğunluğu (%58.7) erkek hastalardı. Yaş ve ejeksiyon fraksiyonu değerlendirildiğinde her üç grup arasında istatistiksel olarak anlamlı farklılık saptandı. Ortalama yaşı en yüksek grup tek damar tıkalıcı KAH saptanan (grup 2) olurken, ejeksiyon fraksiyonu en yüksek olan grup ise tıkalıcı KAH saptanmayan (grup 1) hastalar olarak izlendi. Diğer risk faktörleri açısından gruplar arasında anlamlı fark saptanmadı. Hastaların klinik ve demografik özellikleri Tablo 1'de listelenmiştir.

P dalga istirahat süreleri açısından gruplar birbirile karşılaştırıldığında, üç grup arasında istatistiksel olarak anlamlı fark saptanmamıştır ( $p=0.718$ ). P dalga recovery süreleri açısından gruplar birbirile karşılaştırıldığında ise üç grup arasında istatistiksel olarak anlamlı fark saptandı. Bu fark grup 1'de saptanan P dalga recovery süresinin, grup 2 ve grup 3'te saptanan süreye göre daha kısa olmasından kaynaklanmaktadır (sırasıyla  $117.10 \pm 13.69$  msn,  $127.64 \pm 12.70$  msn,  $130.51 \pm 11.84$  msn,  $p<0.001$ ).

P dalga dispersiyonu açısından gruplar birbirile karşılaştırıldığında, her üç grup arasında da istatistiksel olarak anlam-

**Tablo 1.** Hastaların klinik ve demografik özellikleri

Değişkenler	Koroner anjiyografi				P değeri
	Nonkritik (n= 60)	Tek damar (n= 31)	Çok damar (n= 35)		
Yaş	$56.86 \pm 12.77$	$63.00 \pm 7.82$	$61.82 \pm 10.55$		0.022
Ejeksiyon fraksiyonu	60.8 ± 7.54	55.06 ± 9.25	52.62 ± 12.72		< 0.001
Erkek cinsiyet	29 (%48.3)	20 (%64.5)	25 (%71.4)		0.066
Hipertansiyon	40 (%66.7)	24 (%77.3)	28 (%80.0)		0.301
Diabetes mellitus	15 (%25.0)	12 (%38.7)	14 (%40.0)		0.226
Hiperlipidemi	23 (%38.3)	18 (%58.1)	21 (%60.0)		0.066
Sigara	14 (%23.3)	7 (%22.6)	10 (%28.6)		0.812
Aile öyküsü	14 (%23.3)	6 (%19.4)	9 (%25.7)		0.826
Önceki miyokart infarktüsü	8 (%13.3)	6 (%19.4)	12 (%34.3)		0.501
Koroner girişim öyküsü	12 (%20.0)	11 (%35.5)	10 (%28.6)		0.262

**Tablo 2.** Koroner anjiyografi sonuçları ile P dalga süresi/dispersiyonu ve Gensini skoru arasındaki ilişki

Değişkenler	Koroner anjiyografi			P değeri
	Nonkritik (n= 60)	Tek damar (n= 31)	Çok damar (n= 35)	
P dalga süresi, istirahat (msn)	103.46 ± 11.49	105.16 ± 11.56	103.08 ± 9.95	0.718
P dalga süresi, recovery (msn)	117.10 ± 13.69	127.64 ± 12.70	130.51 ± 11.84	< 0.001
P dalga süre değişimi (msn)	13.63 ± 6.38	22.48 ± 3.98	27.14 ± 6.22	< 0.001
Gensini skoru	15.90 ± 45.13	58.95 ± 56.00	83.25 ± 39.43	< 0.001

lı fark saptandı (sırasıyla  $13.63 \pm 6.38$  msn,  $22.48 \pm 3.98$  msn,  $27.14 \pm 6.22$  msn,  $p < 0.001$ ).

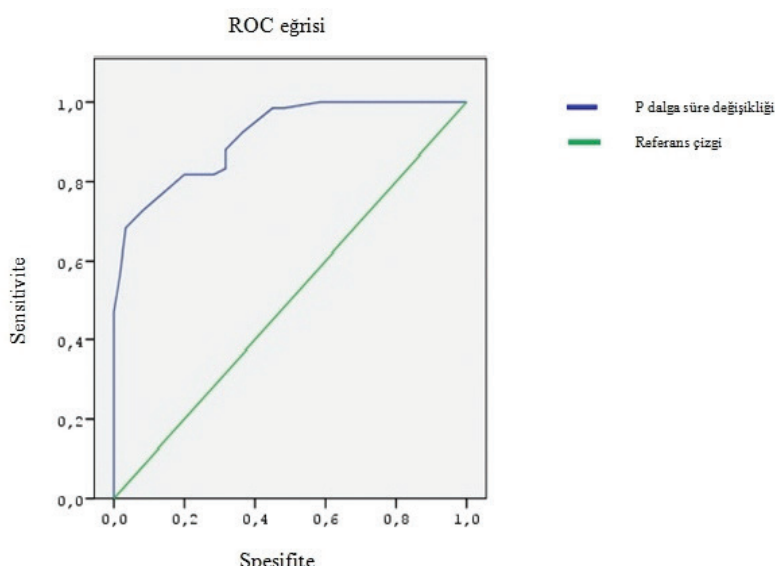
Gensini skorları açısından gruplar birbirile karşılaştırıldığında, yine her üç grup arasında istatistiksel olarak anlamlı fark saptanmıştır (sırasıyla  $15.90 \pm 45.13$ ,  $58.95 \pm 56.00$ ,  $83.25 \pm 39.43$ ,  $p < 0.001$ ). Koroner anjiyografi bulguları ile P dalga süresi/değişimi arasındaki ilişki Tablo 2'de verilmiştir. P dalga süre değişikliği ve Gensini skoru arasında pozitif yönde korelasyon izlendi. P dalga süre değişikliği arttıkça Gensini skorunun da arttığı tespit edildi ( $r = 0.390$ ,  $p < 0.001$ ).

P dalga süre değişikliği ve koroner anjiyografide ciddi lezyon saptanması arasındaki ilişki Roc eğrisiyle değerlendirildi. Buna göre p dalga süre değişikliği için  $21.5$  msn değeri cut-off değer olarak belirlendi. P dalga dispersyonun  $21.5$  msn ve üzerinde olması %81 duyarlılık, %80 özgüllükle ciddi koroner arter hastalığı ile ilişkili tespit edildi (Şekil 2).

## TARTIŞMA

Çalışmamızın sonucu artmış P dalga dispersyonun pozitif miyokart sintigrafisi nedeniyle koroner anjiyografi uygulanın-

hastalarda tikayıcı ve ciddi KAH ile ilişkili olduğu göstermiştir. "Technetium-99m single photon emission computed tomography (SPECT)" ile uygulanan miyokart perfüzyon sintigrafisi KAH şüphesi olan hastalarda önemli bir invaziv olmayan tarama testi olarak yaygın olarak kullanılmaktadır. Efor testine göre tikayıcı KAH varlığını saptamada daha duyarlı olmasına rağmen SPECT ile uygulanan miyokart perfüzyon sintigrafisinin koroner iskemiyi saptamasında da önemli zorluklar ve kısıtlamalar bulunmaktadır<sup>(1,7)</sup>. Bazı durumlarda SPECT ile uygulanan miyokart perfüzyon sintigrafisinin tikayıcı KAH varlığını saptamada duyarlılığı düşük olabilmekte, ayrıca görüntüleme artifaktlarına bağlı olarak özellikle sağ koroner arter ve sol sirkumflex arter lezyonlarında miyokart sintigrafisinin tikayıcı KAH varlığını saptamada tanışal doğruluğu düşük olabilmektedir<sup>(8,9)</sup>. Ayrıca miyokart perfüzyon sintigrafisinin önemli oranda yanlış pozitif sonuç verebilmesi de göz önüne alındığında testin duyarlığını ve özgüllüğünü artttıabilecek yeni verilerin elde edilmesi büyük önem taşımaktadır<sup>(10,11)</sup>. Çalışmamızda, pozitif miyokart perfüzyon sintigrafisi sonucuna artmış P dalga dispersyonun eklenmesinin tikayıcı KAH varlığını saptamada miyokart sintigrafisinin özgüllüğünü ve duyarlığını belirgin olarak artırdığını saptadık.



**Şekil 2.** P dalga süre değişikliği ve koroner anjiyografide ciddi lezyon saptanması arasındaki ilişki, Roc analiz eğrisi, (AUC: 0.913, Standart sapma: 0.023, %95 CI 0, 86-0.95,  $p < 0.001$ ).

Benzer P dalga süre değişikliği ve Gensini skoru arasında istatistiksel olarak anlamlı, pozitif yönde korelasyon izlendi. Bu sonuçlar, hasta değerlendirmesinde ve koroner anjiyografi öncesi risk sınıflandırmasında P dalga süresi ve P dalga dispersiyonunun kullanılabileceğini desteklemektedir.

Homojen olmayan atriyal iletimin önemli bir göstergesi olarak kabul edilen P dalga dispersiyonu, atriyal aritmilerin özellikle de atriyal fibrilasyonun oluşumunda önemli bir rol oynuyor gibi görülmektedir<sup>(12)</sup>. Yakın zamanda yayınlanan bir çalışmada miyokart iskemisi şüphesi nedeniyle egzersiz testi uygulanan hastalarda standart ST segment değişikliklerine P dalga dispersiyonun eklenmesi ile egzersiz testinin özgüllüğünde, pozitif ve negatif prediktif değerinde anlamlı olarak artış meydana geldiği gösterilmiştir<sup>(13)</sup>. Artmış P dalga dispersiyonun KAH şüphesi nedeniyle koroner anjiyografi uygulanan hastalarda KAH ciddiyeti ile ilişkili olabileceği daha önce gösterilmiştir<sup>(4)</sup>. Ancak iskemi yönünden pozitif miyokart perfüzyon sintigrafisi olan hastalarda KAH varlığı ve ciddiyeti ile P dalga dispersiyonu arasındaki ilişki net olarak bilinmemektedir. Çalışmamızın sonucunda pozitif miyokart perfüzyon sintigrafisi sonucuna artmış P dalga dispersiyonun eklenmesinin tıkalıcı KAH varlığını saptamada testin özgüllüğünü ve duyarlığını anlamlı olarak artırdığını ve KAH yaygınlığı ile de anlamlı bir ilişki içerisinde olduğunu saptadık. Miyokart iskemisinin sol ventrikül ve sol atriyal basınçlarda artışa yol açtığı ve bu durumun P dalga süresi ve dispersiyonunda uzama meydana getirebileceği düşünüldüğünde, P dalga süresinin koroner anjiyografi öncesi risk sınıflandırmasında kullanılması uygun bir yaklaşım gibi görülmektedir<sup>(14)</sup>.

### **Çalışmanın Kısıtlıkları**

Çalışmamızın kısıtlıklarından en önemli hasta sayısının nispeten az olmasıdır. Ayrıca koroner anjiyografide mikrovasküler dolaşım bozukluğunun yarattığı miyokart iskemisi değerlendirilemediğinden, anjiyografide kritik darlık saptanmayan hastaların iskemi yönünden pozitif miyokart perfüzyon sintigrafisi sonucunu değerlendirmek önemli bir zorluk oluşturmaktadır. Bu hasta grubunda miyokart iskemisi ve P dalga dispersiyonu arasındaki ilişki daha ileri çalışmalarında test edilmek için önemli bir konu gibi görülmektedir.

### **SONUÇ**

Çalışmamızda P dalga dispersiyonun 21.5 msn ve üzerinde olması %81 duyarlılık, %80 özgüllükle ciddi koroner arter hastalığı ile ilişkili tespit edildi. Çalışmamızdan elde edilen mevcut bulgular iskemi yönünden pozitif miyokart sintigrafisi saptanın ve bu nedenle koroner anjiyografi uygulanan hastalarda, miyokart sintigrafisi sonucuna P dalga dispersiyonunun eklenmesinin testin duyarlığını ve özgüllüğünü anlamlı olarak artırdığını göstermektedir. SPECT ile uygulanan miyokart perfüzyon sintigrafisinin tıkalıcı KAH varlığını saptamada önemli zorluklarla karşılaşıldığı düşünüldüğünde, P dalga dispersiyonun sintigrafi sonucu ile birlikte değerlendirilmesinin klinik kullanımda önemli bir rol alabileceği görülmektedir.

### **ÇIKAR ÇATIŞMASI**

Yazarlar bu makale ile ilgili olarak herhangi bir çıkar çatışması bildirmemişlerdir.

### **YAZAR KATKISI**

*Anafikir/Planlama:* HK, ME, ÖK

*Analiz/Yorum:* HK, ME

*Veri Sağlama:* HK, ME

*Yazım:* HK, ME

*Gözden Geçirme ve Düzeltme:* HK, ME, ÖK

*Onaylama:* Tüm yazarlar

### **KAYNAKLAR**

- Montalescot G, Sechtem U, Achenbach S, Andreotti F, Arden C, Budaj A, et al. 2013 ESC guidelines on the management of stable coronary artery disease: the Task Force on the management of stable coronary artery disease of the European Society of Cardiology. Eur Heart J 2013;34:2949-3003.
- Patel MR, Peterson ED, Dai D, Brennan JM, Redberg RF, Anderson HV, et al. Low diagnostic yield of elective coronary angiography. N Engl J Med 2010;362:886-95.
- Dilaveris PE, Gialafos EJ, Sideris SK, Theopistou AM, Andrikopoulos GK, Kyriakidis M, et al. Simple electrocardiographic markers for the prediction of paroxysmal idiopathic atrial fibrillation. Am Heart J 1998;135:733.
- Yilmaz R, Demirbag R. P-wave dispersion in patients with stable coronary artery disease and its relationship with severity of the disease. J Electrocardiol 2005;38:279-84.
- Gensini GG. A more meaningful scoring system for determining the severity of coronary heart disease. Am J Cardiol 1983;51:606.
- Maganis JC, Gupta B, Gamie SH, LaBarbera JJ, Startt-Selvester RH, Ellestad MH. Usefulness of p-wave duration to identify myocardial ischemia during exercise testing. Am J Cardiol 2010;105:1365-70.
- Hesse B, Tagil K, Cuocolo A, Anagnostopoulos C, Bardies M, Bax J, et al. EANM/ESC procedural guidelines for myocardial perfusion imaging in nuclear cardiology. Eur J Nucl Med Mol Imaging 2005;32:855-97.
- Elhendy A, van Domburg RT, Bax JJ, Poldermans D, Sozzi FB, Roelandt JR. Accuracy of dobutamine technetium 99 m sestamibi SPECT imaging for the diagnosis of single-vessel coronary artery disease: Comparison with echocardiography. Am Heart J 2000;139:224-30.
- Smart SC, Bhatia A, Hellman R, Stoiber T, Krasnow A, Collier BD, et al. Dobutamine-atropine stress echocardiography and dipyridamole sestamibi scintigraphy for the detection of coronary artery disease: Limitations and concordance. J Am Coll Cardiol 2000;36:1265-73.
- Bourque JM, Beller GA. Stress myocardial perfusion imaging for assessing prognosis: an update. JACC Cardiovasc Imaging 2011;4:1305-19.
- Verna E, Ceriani L, Giovanella L, Binaghi G, Garancini S. "False-positive" myocardial perfusion scintigraphy findings in patients with angiographically normal coronary arteries: insights from intravascular sonography studies. J Nucl Med 2000;41:1935-40.
- Aytemir K, Ozer N, Atalar E, Sade E, Aksöyek S, Ovünç K, et al. P wave dispersion on 12-lead electrocardiography in patients with paroxysmal atrial fibrillation. Pacing Clin Electrophysiol 2000;23:1109-12.
- Koyuncu I, Tuluce K, Tuluce SY, Koyuncu B, Eyuboglu M, Gursul E, et al. Diagnostic value of combining heart rate recovery and P-wave changes with exercise-induced changes in the ST segments for prediction of myocardial ischaemia. Acta Cardiol 2015;70:422-9.
- Dilaveris PE, Andrikopoulos GK, Metaxas G, Richter DJ, Avgeropoulos CK, Androulakis AM, et al. Effects of ischemia on P wave dispersion and maximum P wave duration during spontaneous anginal episodes. Pacing Clin Electrophysiol 1999;22:1640-7.